

## مطالعه سازگاری و پایداری عملکرد دانه ژنوتیپ‌های گلنگ بهاره در شرایط دیم

مهدی جمشیدمقدم<sup>\*</sup> و سیدسعید پورداد<sup>۲</sup>

۱، اعضای هیئت علمی معاونت مؤسسه تحقیقات کشاورزی دیم- ساراود کرمانشاه

(تاریخ دریافت: ۹۰/۶/۱۹ - تاریخ تصویب: ۹۲/۳/۱)

### چکیده

به منظور بررسی اثر متقابل ژنوتیپ × محیط و تشخیص ژنوتیپ‌های پرمحصول و سازگار، آزمایشی با استفاده از ۱۷ ژنوتیپ گلنگ بهاره در قالب طرح بلوک‌های کامل تصادفی با سه تکرار در ۹ ایستگاه تحقیقاتی به مدت ۴ سال (۱۳۸۵ تا ۱۳۸۲) تحت شرایط دیم گردید. بر اساس تجزیه مدل امی، اثر اصلی ژنوتیپ، محیط، اثر متقابل ژنوتیپ × محیط معنی دار شد و شش مؤلفه باقیمانده در مدل امی، ۸۲ درصد از مجموع مربعات اثر متقابل را توجیه نمود. در این تحقیق از آماره‌های پایداری امی (AMGE، EV، SIPC، D و ASV)، روش رگرسیونی ابرهارت-راسل، واریانس پایداری شوکلا، آماره عملکرد-پایداری (YS) و بای‌پلات ژنوتیپ + اثر متقابل ژنوتیپ × محیط (GGE) استفاده شد. بر اساس نتایج حاصل از آماره‌های پایداری امی ژنوتیپ‌های G13، G8 و G6 پایدارتر و دارای سازگاری عمومی به محیط‌های مورد بررسی بودند. برای آماره عملکرد-پایداری و GGE بای‌پلات با توجه به مقوله سازگاری و عملکرد G15 و G4 به عنوان ژنوتیپ‌های برتر معروفی گردیدند. ژنوتیپ G13 (PI-250536) بر اساس کلیه آماره‌های پایداری به عنوان ژنوتیپ پایدار و پرمحصول شناسایی شد. با استفاده از ترسیم نمودار چندضلعی GGE بای‌پلات، G15 برای ایستگاه‌های کرمانشاه و گچساران، G7 برای دو ایستگاه کردستان و خرم آباد، G1 برای مناطق ایلام، مراغه و شیروان، G5 و G9 به ترتیب برای دو مکان زنجان و اردبیل مناسب تشخیص داده شدند.

### واژه‌های کلیدی: گلنگ، اثر متقابل ژنوتیپ × محیط، پارامترهای پایداری، مدل امی، GGE بای‌پلات

برای تأمین دانه‌های روغنی مورد نیاز کشور برخوردار است (Zeinali, 1999). به طور کلی دانه گلنگ دارای ۲۵ تا ۴۵ درصد روغن و ۱۲ تا ۲۲ درصد پروتئین است. وجود توده‌های متنوع محلی و انواع تیپ‌های وحشی گلنگ نشان از سازگاری آن با شرایط آب و هوایی مناطق وسیعی از کشور را دارد.

در برنامه‌های بهنژادی مطالعه و بررسی میزان سازگاری گیاهان زراعی نسبت به شرایط محیطی مختلف، از اهمیت ویژه‌ای برخوردار است. از آنجا که نیاز بالقوه‌ای برای تهیه ارقام مناسب و سازگار به مناطق

### مقدمه

گلنگ جزء گیاهان بومی ایران بوده و بر اساس طبقه‌بندی (Ashri 1973) ایران یکی از مراکز تنوع این گیاه است. این گیاه بدليل ویژگی‌های مطلوب و خاص نظیر استفاده‌های دارویی و غذایی از گل‌های آن، کیفیت بالای روغن به دلیل وجود بیش از ۹۰ درصد اسیدهای چرب غیر اشباع، خصوصاً اسید اولنیک و اسید لینولنیک، تولید کنجاله به عنوان مکمل غذایی مناسب برای دام، مقاومت نسبتاً زیاد آن به تنش‌های غیرزننده از جمله شوری، خشکی و سرمای زمستانه، از اهمیت خاصی

می باشد. Eberhart & Russell (1966) روش رگرسیون را بر اساس ضریب رگرسیون (b) و انحراف رگرسیونی ( $S^2_e$ ) برای ارزیابی پایداری پیشنهاد کردند. به نظر آنها ژنتیکی پایدار است که ضریب رگرسیون آن یک و انحراف از رگرسیون آن حداقل باشد و ضمناً میانگین عملکرد دانه آن به طور معنی‌داری از میانگین کل آزمایش بیشتر باشد. از این روش رگرسیونی در بررسی پایداری عملکرد دانه لاین‌ها و ارقام گلنگ نیز استفاده شده است (Hatamzadeh, 2007; Esenetal et al., 2008; Omidi et al., 2010).

روش چندمتغیره مدل امی (AMMI)<sup>۱</sup> به عنوان ابزار تجزیه‌ای قوی برای بررسی اثر متقابل ژنتیک × محیط در ساختار داده‌های با ابعاد ماتریسی بزرگ مورد استفاده قرار می‌گیرد.

این روش ترکیبی از مدل تجزیه واریانس و تجزیه به مؤلفه‌های اصلی است (Crossa et al., 1990; Ebdon & Gauch, 2002). کاربردی از روش مدل امی در بررسی پایداری ارقام گلنگ برای مناطق مختلف گزارش شده است (Mündel et al., 1995; Abdulahi et al., 2009). اگر چندین مؤلفه از مؤلفه‌های اثر متقابل در مدل امی از لحاظ آماری معنی‌دار باشند، نشان‌دهنده وجود اثر متقابل پیچیده ژنتیک × محیط می‌باشد (Gauch & Zobel, 1996). لذا علاوه بر روش تجزیه امی، جهت تفسیر بهتر اثر متقابل ژنتیک × محیط از پارامترهای پایداری مرتبط با مدل امی نیز استفاده شده است (Zobel, 1994; Gauch & Zobel, 1996; Purchase, 1997; Sneller et al., 1997; Annicchiarico, 1997). Sneller et al., (1997) برای ارزیابی پایداری ژنتیکی سویا از سه پارامتر شامل مجموع مقادیر ویژه ژنتیکی مؤلفه‌های باقیمانده در مدل (SIPC)<sup>۲</sup>، میانگین مربعات بردار مؤلفه‌ها برای هر ژنتیک (EV)<sup>۳</sup> و مجموع مقادیر ویژه ژنتیک × محیط مؤلفه‌های باقیمانده در مدل (AMGE)<sup>۴</sup> استفاده نمودند و در

جغرافیایی مختلف وجود دارد، برآورد اثر متقابل ژنتیک × محیط ضروری است. روش‌های متعددی به منظور تحلیل اثر متقابل ژنتیک × محیط و تخمین پایداری عملکرد و سازگاری ژنتیک‌ها پیشنهاد شده است که هر کدام از آنها مبتنی بر روش‌های آماری خاصی است. Hayward et al., (1993) این روش‌ها را در چهار گروه کلی تجزیه واریانس، رگرسیون، روش‌های چندمتغیره و غیرپارامتری برای بررسی پایداری زراعی قرار دادند. از جمله روش‌های مبتنی بر تجزیه واریانس معیارهای نک متغیره پارامتری اکووالانس Wricke (1962) و واریانس پایداری Shukla (1972) است. معیار اکووالانس بر مبنای تعیین سهم هر ژنتیک در اثر متقابل ژنتیک × محیط بوده و بر مبنای این معیار ژنتیکی پایدار محسوب می‌گردد که مقدار اکووالانس آن کمتر باشد. واریانس پایداری ( $S^2$ ) مبتنی بر اکووالانس و تابعی خطی از آن می‌باشد. در این روش امکان تفکیک اثرات متقابل ژنتیک × محیط به دو جزء ناهمگنی<sup>۵</sup> مربوط به فاکتورهای محیطی (از قبیل بارندگی، درجه حرارت، رطوبت نسبی و ...) یا شاخصی از کل محیط‌ها و اثر متقابل باقیمانده وجود دارد. شاخص محیطی نماینده‌ای از همه تفاوت‌ها برای کلیه محیط‌ها از قبیل حاصل‌خیزی خاک، اعمال زراعی، آفات و بیماری‌ها و فاکتورهای محیطی است. در روش Shukla (1972) در صورت معنی‌دار بودن جزء ناهمگن بر اساس باقیمانده حاصل از اثر متقابل ژنتیک × محیط، برآورد نالریب واریانس پایداری ژنتیک‌ها ( $S^2$ ) در تمام محیط‌ها قابل محاسبه است. این آماره‌های پایداری جزو تیپ ۲ سازگاری هستند که تاکیدشان بیشتر بر اثر متقابل ژنتیک × محیط بوده و ارقامی را معرفی می‌کنند که دارای پایداری بوده و کمتر به عملکرد توجه می‌شود در حالی که بهترادگر به دنبال یافتن ژنتیک‌هایی است که پایدار و دارای عملکرد بالا باشند. بنابراین Kang (1993) آماره عملکرد - پایداری (YS) برای گرینش همزمان برای عملکرد و پایداری ارائه نمود که در واقع این روش ترکیبی از معیار پایداری Shukla (1972) و میانگین رتبه عملکرد دانه هر ژنتیک در محیط‌های مختلف

2. Additive Main Effect and Multiplicative Interaction

3. Sums of the Absolute Value of the IPC Scores

4. Averages of the Square Eigenvector Values

5. Sum Across Environments of the GEI Modeled by AMMI

1. Heterogeneity

محصول تعیین می‌شود که در سال‌های بعد می‌توان با توجه به این محیط‌های بزرگ، به تعیین ژنتیپ‌های برتر اقدام نمود. کاربردی از این مدل برای تجزیه اثر متقابل ژنتیپ × محیط به منظور ارزیابی ژنتیپ‌ها در آزمایش‌های چندمحیطی در گیاه گلنگ نیز گزارش شده است (Alizadeh et al., 2008; Pourdad & Jamshid moghaddam, 2012).

ژنتیپ‌های مورد بررسی در این تحقیق پس از ارزیابی آزمایش‌های مقدماتی مربوط به کشت بهاره گلنگ در ایستگاه تحقیقاتی سراورود (کرمانشاه)، به دلیل برتری خصوصیات زراعی آن‌ها برای ارزیابی سازگاری عملکرد دانه انتخاب شدند. هدف از پژوهش حاضر، بررسی اثرات متقابل ژنتیپ × محیط و تعیین پایداری ارقام و لاین‌های گلنگ بهاره با استفاده از چندین روش مختلف پایداری با تاکید بر روش AMMI، تعیین ژنتیپ‌های ایده‌آل و توصیه بهترین ژنتیپ‌ها برای گروه‌های محیطی مختلف با استفاده از مدل GGE بای‌پلات می‌باشد.

## مواد و روش‌ها

در این تحقیق، عملکرد دانه ۱۶ ژنتیپ گلنگ به همراه ژنتیپ شاهد محلی اصفهان بصورت کشت بهاره در قالب طرح بلوک‌های کامل تصادفی با سه تکرار در ۹ ایستگاه تحقیقاتی طی ۴ سال زراعی (از سال ۱۳۸۲ تا ۱۳۸۵) تحت شرایط دیم مورد ارزیابی قرار گرفت. جدول ۱ مشخصات جغرافیایی مکان‌های مورد آزمایش و جدول ۲ مشخصات ژنتیپ‌های گلنگ را نشان می‌دهد. بذور هر ژنتیپ در کرت‌هایی به مساحت ۶ مترمربع شامل ۵ خط چهارمتیر با فواصل ردیف ۳۰ سانتی‌متری کشت شد.

کود مصرفی از منابع فسفات آمونیوم و اوره تامین شد. در طول دوره رشد گیاه علاوه بر وجین مرتب علف‌های هرز، از علف‌کش سیستمیک هالوکسی فوب پی متیل ۱۰/۸٪ ای سی (گالانت سوپر) بر علیه باریک برگ‌های گرامینه موجود در مزرعه گلنگ استفاده گردید. پس از جمع‌آوری داده‌های مربوط به محیط‌های مورد آزمایش، محاسبات آماری شامل تجزیه واریانس مرکب، تجزیه اثر متقابل ژنتیپ × محیط به روش امی، تعیین

این بررسی این پارامترها از قابلیت تکرارپذیری بالایی در تعیین پایداری ژنتیپ‌ها برخوردار بودند. Annicchiarico (1997) از پارامتر D برای مقایسه روش امی و رگرسیون برای تفسیر اثر متقابل ژنتیپ × محیط استفاده کرد که این پارامتر بیانگر فاصله اقلیدسی محور مؤلفه‌های اصلی باقیمانده در مدل از مرکز است.

Purchase (1997) نیز با استفاده از مدل امی، پارامتر ارزش پایداری امی (ASV)<sup>1</sup> را برای پایداری ژنتیپ‌های گندم ارائه نمود که از دو مؤلفه اول امی برای این روش استفاده می‌شود. از پارامترهای پایداری امی در گیاهان مختلفی از جمله ذرت (Karimizadeh et al., 2010)، جو (Dehghani et al., 2008)، نخود (Akbarpour et al., 2011) و همچنین گلنگ پاییزه (Jamshid moghaddam & Pourdad, 2013) برای تعیین پایداری ارقام به کار برده شده است.

در آزمایشات چندمحیطی که یک جدول دوطرف بزرگ از اثر متقابل ژنتیپ × محیط وجود دارد، استفاده از نمودارهایی که بطور همزمان پراکنش ژنتیپ‌ها و محیط‌ها را نشان می‌دهند (بای‌پلات) از اهمیت زیادی برخوردار است. با استفاده از ویژگی‌های نمودار بای‌پلات (Gabriel, 1971) و روش چندمتغیره تجزیه به مؤلفه‌های اصلی، روش GGE بای‌پلات معرفی شد (Yan, 2001; Yan & Kang, 2003). این روش برخلاف مرسوم‌ترین روش چندمتغیره تجزیه پایداری که تنها اثرات متقابل ژنتیپ × محیط را مدنظر قرار می‌دهد، از اثرات اصلی ژنتیپ نیز استفاده می‌کند. همچنین با توجه به اینکه در آزمایشات ناحیه‌ای عملکرد، محیط بیشترین منبع ایجاد تغییرات بوده و از طرفی غیر قابل کنترل می‌باشد، از این رو در روش GGE بای‌پلات، روی آن بخش از داده‌های آزمایشات چندمحیطی تمرکز می‌کند که بیشتر از همه برای ارزیابی ارقام مفید است. از کاربردهای مهم روش GGE بای‌پلات، تشخیص چندین مکان با ژنتیپ برتر مشابه (محیط‌های بزرگ)<sup>2</sup> برای محصولات مختلف زراعی است که با گروه‌بندی محیط‌های نسبتاً مشابه، محیط‌های بزرگتری برای هر

1. AMMI Stability Value  
2. Mega-environment

موجود نبود و بنابراین تجزیه برای ۳۳ محیط انجام شد.

پارامترهای پایداری مدل امی انجام شد. نتایج سه محیط مربوط به مکان‌های کردستان، خرم‌آباد و گچساران

جدول ۱- مشخصات جغرافیایی و کد محیطی مکان‌های اجرای آزمایش

مکان	طول جغرافیایی	عرض جغرافیایی	ارتفاع	بارندگی بلندمدت	کد محیطی	۱۳۸۵	۱۳۸۴	۱۳۸۳	۱۳۸۲
اردبیل	۱۵° ۲۸' شرقی	۴۸° ۲۰' شمالی	۱۲۵۰	۲۸۰	E25	E16	E9	E1	
زنجان	۰' ۳۶° شرقی	۴۸° ۴۰' شمالی	۱۸۷۵	۳۶۵	E26	E17	E10	E2	
مراغه	۳۰' ۴۵° شرقی	۵۲° ۲۶' شمالی	۱۴۰۰	۳۴۸	E27	E18	E11	E3	
شیروان	۰' ۵۸° شرقی	۱۴' ۳۷° شمالی	۱۱۳۱	۲۶۹	E28	E19	E12	E4	
کرمانشاه	۰' ۴۷° شرقی	۱۹' ۳۴° شمالی	۱۲۵۱	۴۵۴	E29	E20	E13	E5	
کردستان	۱۴' ۴۷° شرقی	۲۲' ۳۵° شمالی	۱۸۵۰	۴۹	E30	E21	-	E6	
خرم‌آباد	۳۳' ۲۹° شرقی	۱۸' ۴۰° شمالی	۱۱۷۱	۴۹	E31	E22	-	E7	
ایلام	۳۵' ۴۶° شرقی	۲۱' ۳۳° شمالی	۹۷۵	۵۱۷	E32	E23	E14	E8	
گچساران	۲۰' ۳۰° شرقی	۵۰' ۰° شمالی	۷۱۰	۴۸۷	E33	E24	-	E15	

جدول ۲- نام، منشأ و برخی خصوصیات زراعی ژنتیپ‌های گلرنگ مورد مطالعه

رقم پالاین	منشأ	وضعیت خارجی	رنگ گل	محبتی روغن (دانه (درصد)	کد ژنتیپ
Cyprobregon	قبرس	خاردار	نارنجی	۲۸/۱۸	G1
S-541	آمریکا	خاردار	زرد	۲۸/۳۶	G2
CW-74	آمریکا	خاردار	نارنجی	۲۹/۴۹	G3
Syrian	سوریه	بی خار	قرمز	۲۷/۴۸	G4
Dincer	ترکیه	خاردار	زرد	۲۷/۹۷	G5
Kino-76	مکزیک	خاردار	نارنجی	۲۸/۱۵	G6
CW-4440	آمریکا	خاردار	زرد	۲۸/۹۷	G7
Lesaf	کانادا	خاردار	زرد	۲۷/۸۹	G8
Hartman	آمریکا	خاردار	زرد	۲۸/۴۳	G9
Isfahan	ایران	بی خار	قرمز	۲۸/۱۰	G10
Gila	آمریکا	خاردار	نارنجی	۲۹/۰۱	G11
PI-198290	هند	خاردار	زرد	۲۸/۵۶	G12
PI-250536	آمریکا	خاردار	نارنجی	۲۷/۱۹	G13
PI-250537	مصر	خاردار	نارنجی	۲۷/۶۴	G14
Sina	ایران	خاردار	زرد	۲۸/۰۴	G15
PI-537636	آمریکا	خاردار	نارنجی	۲۸/۰۰	G16
PI-537636-S	آمریکا	خاردار	نارنجی	۲۸/۰۹	G17

متقابل،  $\rho_{ij}$  عبارت مربوط به مقدار باقیمانده (نویز) و  $\epsilon_{ijk}$  عبارت مربوط به خطاست. آزمون F برای معنی‌دار بودن متابع تغییرات به شرط نرمال بودن و مستقل بودن برای مدل‌های خطی صحیح‌اند، اما چون در روش AMMI مدل کاهشی است (یعنی تمام ریشه‌های مشخصه محاسبه شده استفاده نمی‌شود)، ریشه‌های مشخصه توزیع  $\chi^2$  ندارند و باید آزمون‌های F را تصحیح نمود. بدین ترتیب با انجام آزمون FR تعداد مؤلفه‌های Cornelius et al., (1992). از پارامترهای پایداری مختلف امی در این تحقیق استفاده شد که رابطه هر یک از آنها عبارتنداز:

$$EV = \sum_{n=1}^N \frac{\gamma_{in}^2}{N} \quad (\text{Zobel, 1994})$$

$$SIPC = \sum_{n=1}^N \lambda_n^{0.5} \gamma_{in} \quad (\text{Gauch and Zobel, 1996})$$

روش AMMI در واقع ترکیبی از مدل تجزیه واریانس و تجزیه به مؤلفه‌های اصلی است و مدل آن به صورت زیر است (Gauch, 1992):

$$Y_{ijk} = \mu + \alpha_i + \beta_j + \sum_{n=1}^N \lambda_n \gamma_{in} \delta_{jn} + \rho_{ij} + \varepsilon_{ijk}$$

در این فرمول،  $Y_{ijk}$  عملکرد ژنتیپ آن در محیط زام و در تکرار kام،  $\mu$  میانگین کل،  $\alpha_i$  اثر اصلی ژنتیپ،  $\beta_j$  اثر اصلی محیط،  $\lambda_n$  مقدار منفرد مربوط به n امین مؤلفه اصلی باقیمانده در مدل و N تعداد مؤلفه‌های اصلی اثر متقابل در مدل امی است که برابر است با ( $N \leq$  (min (g-1), (e-1)). بردار مشخصه برای i امین ژنتیپ از n امین مؤلفه اصلی اثر متقابل،  $\delta_{jn}$  بردار مشخصه برای j امین محیط از n امین مؤلفه اصلی اثر

بودن اثر متقابل ژنتیپ × محیط بود. ولی با انجام آزمون FR تصحیح شده شش مؤلفه بسیار معنی‌دار در توجیه اثر متقابل مشاهده شد. بر این اساس در این مطالعه از مؤلفه اثر متقابل اول و مجموع شش مؤلفه اثر متقابل استفاده گردید. با توجه به جدول ۳، مؤلفه اثر متقابل اول ۲۶/۸۵ درصد از تغییرات اثر متقابل ژنتیپ × محیط را به خود اختصاص داد. همچنین، با در نظر گرفتن شش مؤلفه اثر متقابل، این نسبت برابر ۸۱/۷۲ درصد از تغییرات اثر متقابل بود. Abdulahi et al. (2009) در ارزیابی اثر متقابل ژنتیپ × محیط ارقام گلرنگ پاییزه با استفاده از روش امی اثرات اصلی ژنتیپ × محیط و اثر متقابل ژنتیپ × محیط بسیار معنی‌دار شدند و دو مؤلفه اول در حدود ۵۰/۵ درصد از مجموع مربعات اثر متقابل را تشکیل داد.

برای ارزیابی پایداری ژنتیپ‌ها و محیط‌ها، از نمودار دو طرفه مؤلفه‌های اثر متقابل اول و دوم ژنتیپ‌ها استفاده شد (شکل ۱). این بای‌پلات ۴۸/۲۶ درصد تغییرات موجود در داده‌ها را توجیه کرد. ژنتیپ‌ها و محیط‌هایی که در مرکز بای‌پلات قرار گیرند، از حداقل میزان اثر متقابل برخوردار هستند، بنابراین ژنتیپ‌های G13 و G10 به همراه محیط‌های E6 ، E11 ، E19 و E13 به همراه محیط‌های E30 و E32 چنین وضعیتی داشته و از نظر عدم برخورداری از اثر متقابل به سایر ژنتیپ‌ها و محیط‌ها برتر بودند. ژنتیپ‌ها و محیط‌های دارای مقادیر بیشتر مؤلفه اصلی اول یا دوم (مثبت یا منفی) اثر متقابل بالایی داشتند ولی نسبت به یکدیگر سازگاری اختصاصی نشان دادند.

بنابراین ژنتیپ‌های G5 و G17 و محیط E10 دارای بیشترین مقادیر منفی مؤلفه اصلی اول و دوم بودند و نسبت به این محیط سازگاری اختصاصی داشتند.

چنین شرایطی برای ژنتیپ G11 با محیط‌های E8 و E18 وجود داشت که از بیشترین مقادیر مثبت مؤلفه اصلی دوم برخوردار بودند. همچنین ژنتیپ‌های G1 و G15 همبستگی مناسبی را با محیط E24 نشان دادند. البته در این تحقیق میزان تغییرات توجیه شده توسط دو مؤلفه اصلی اول و دوم کم بود و حدود نصف تغییرات را توجیه نمود، لذا بهتر است از نتایج آماره‌های مدل امی

$$AMGE = \sum_{j=1}^M \sum_{n=1}^N \lambda_n \gamma_{in} \delta_{jn} \quad (\text{Sneller et al., 1997})$$

$$D = \left[ \sum_{n=1}^N (\lambda_n \gamma_{in})^2 \right]^{0.5} \quad (\text{Annicchiarico, 1997})$$

$$ASV = \sqrt{\frac{SS_{IPCA\ 1}}{SS_{IPCA\ 2}} (IPCA\ 1)^2 + (IPCA\ 2)^2}$$

(Purshase, 1997)

در این فرمول‌ها، N تعداد مؤلفه‌های اصلی باقیمانده در مدل، M تعداد محیط‌های تحت بررسی و  $\lambda_n$  ریشه مشخصه مؤلفه  $n$  است. برخی از آماره‌ها به دو حالت شامل یک مؤلفه اصلی و برابر با تعداد مؤلفه‌های اصلی که دارای اعتبار آماری بود محاسبه شد.

جهت بررسی پایداری عملکرد دانه ژنتیپ‌ها از پارامترهای تک متغیره دیگری شامل ضریب و انحراف از رگرسیون Eberhart & Russell (1966) ، واریانس پایداری Shukla (1972) و معیار گزینش همزمان برای عملکرد - پایداری Kang (1993) استفاده شد. در این مطالعه ترسیم نمودار دو بعدی مؤلفه‌های اثر متقابل اول و دوم مدل امی و نمودارهای اثر ژنتیپ + اثر متقابل ژنتیپ × محیط (GGE) بای‌پلات برای تعیین فاصله ژنتیپ‌های مورد مطالعه از ژنتیپ ایده‌آل از نظر عملکرد - سازگاری و تشخیص گروه‌های محیطی بزرگ انجام شد. برای تجزیه‌های آماری از نرم‌افزارهای Genstat15، SPSS19 و GGEbiplot استفاده شد.

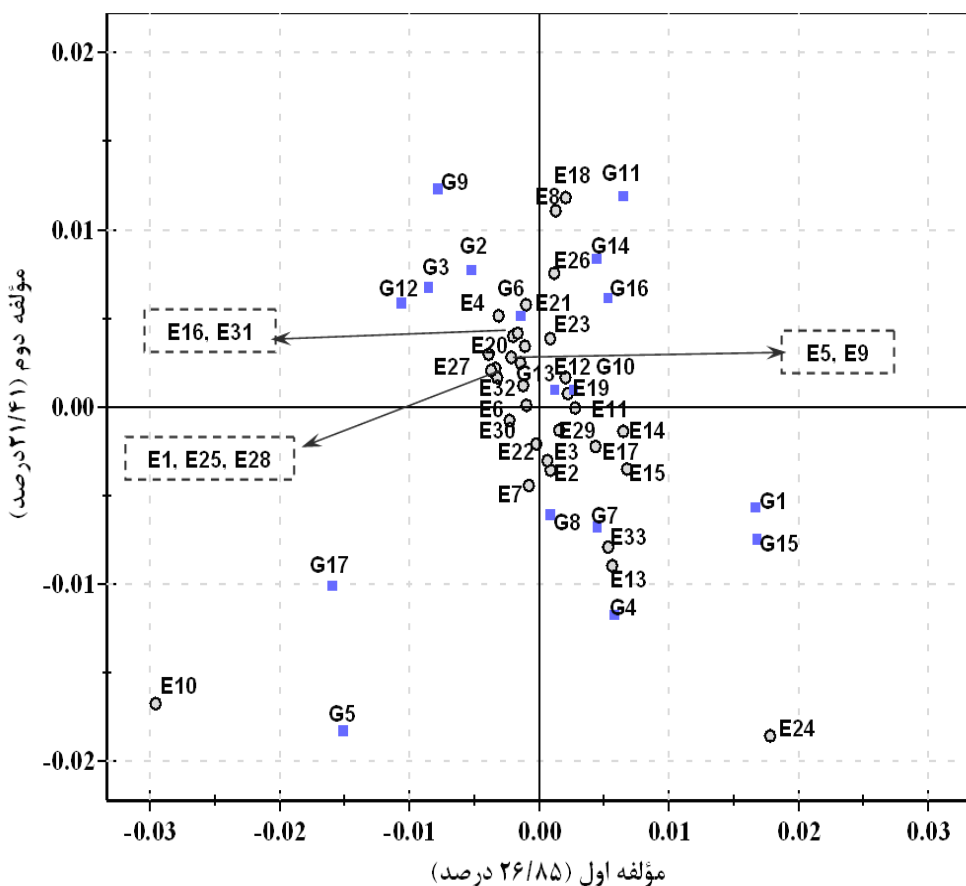
## نتایج و بحث

آزمون بارتلت برای بررسی متجانس بودن واریانس‌های خطاب انجام شد و فرض صفر مبنی بر عدم وجود اختلاف معنی‌دار بین واریانس خطاهای در آزمایش‌های جداگانه تأیید شد. نتایج تجزیه مرکب عملکرد دانه در جدول ۳ ملاحظه می‌گردد.

اختلاف بین محیط‌های تحت بررسی، ژنتیپ‌ها و اثر متقابل ژنتیپ × محیط در سطح احتمال ۱٪ معنی‌دار بود. حدود ۸۳/۷۵ از مجموع واریانس کل توسط اثرات جمع‌بندیر محیط، ۰/۸۴ توسط اثر ژنتیپ و ۸/۵۳ درصد از تغییرات کل توسط اثر ژنتیپ × محیط توجیه گردید. در روش امی مؤلفه‌های اثر متقابل اول تا نهم برای عملکرد دانه معنی‌دار شد، که دلیلی بر پیچیده

که از همه مؤلفه‌های اصلی که با آزمون FR معنی‌دار

شده‌اند بطور همزمان برای تعیین پایداری استفاده نمود.



شکل ۱- بای‌پلات برای دو مؤلفه اول مدل امی برای ۱۷ ژنتیپ و ۳۳ محیط

جدول ۳- تجزیه واریانس مرکب برای اثرات جمع‌بندیر و ضرب‌بندیر

منابع تغییرات	درصد از كل	میانگین مربعات کرنلیوس <sup>†</sup>	درجه آزادی کرنلیوس	میانگین مربعات	درجه آزادی	درصد از کل
محیط‌ها	۷۴۲۶۲۳۷ **			۷۴۲۶۲۳۷ **	۳۲	۸۳/۷۵
تکرار در محیط	۷۳۷۸۶ **			۷۳۷۸۶ **	۶۶	۱/۷۲
ژنتیپ‌ها	۱۴۰۴۸ **			۱۴۰۴۸ **	۱۶	۰/۸۴
ژنتیپ × محیط	۴۷۲۶۲ **			۴۷۲۶۲ **	۵۱۲	۰/۰۵۳
۱	۱۳۸۲۶۰ **	۴۶۵		۱۳۸۲۶۰ **	۴۷	۲/۲۹
۲	۱۱۵۱۴۵ **	۴۲۰		۱۱۵۱۴۵ **	۴۵	۱/۸۳
۳	۹۰۲۳۹ **	۳۷۷		۹۰۲۳۹ **	۴۳	۱/۳۷
۴	۴۳۱۶۱ **	۳۳۶		۴۳۱۶۱ **	۴۱	۰/۶۲
۵	۳۳۱۷۴ **	۲۹۷		۳۳۱۷۴ **	۳۹	۰/۴۶
۶	۳۰۰۵۶ **	۲۶۰		۳۰۰۵۶ **	۳۷	۰/۴۰
۷	۲۵۰۳۶ **	۲۲۵		۲۵۰۳۶ **	۳۵	۰/۳۱
۸	۲۴۹۶۶ **	۱۹۲		۲۴۹۶۶ **	۳۳	۰/۲۹
۹	۲۱۹۸۹ *	-		۲۱۹۸۹ *	۲۱	۰/۲۴
(باقیمانده (نویز))	۱۲۸۱۰	-		۱۲۸۱۰	۱۶۱	۰/۷۳
خطای ادغام شده	۱۳۸۶۲	-		۱۳۸۶۲	۱۰۵	۵/۱۶

\* و \*\* به ترتیب معنی‌دار در سطوح احتمال ۵ و ۱ درصد

<sup>†</sup> برای آزمون FR میانگین مربعات خطای به تعداد تکرار تقسیم گردید.

قدر مطلق کوچک و نزدیک صفر حاکی از عدم اثر متقابل ژنتیپ × محیط برای رقم مربوطه است و مقادیر بزرگ نشان‌دهنده وجود اثر متقابل زیاد است. با استفاده

به منظور ارزیابی ژنتیپ‌ها از مدل امی ۱ و ۶ و پارامترهای مربوطه برای برآورد پایداری کلیه ژنتیپ‌ها استفاده شد (جدول ۴). بر اساس این معیارها، مقادیر

نتیجه‌گیری شد که ژنتیپ G13 با کمترین میانگین رتبه بالاترین میزان پایداری را داشت. همچنین ژنتیپ‌های G8 و G6 به ترتیب در رتبه‌های دوم و سوم قرار داشتند. در مقابل ژنتیپ‌های G5 و G17 دو رتبه آخر پایداری عملکرد را به دست آوردند و به عنوان ناپایدارترین ژنتیپ‌ها شناخته شدند.

از پارامترهای AMGE ، EV1 ، SIPC1 و D1 ژنتیپ‌های G8 ، G6 ، پارامتر SIPC6 ژنتیپ‌های G13 ، G15 و G4 ، پارامتر EV6 ژنتیپ‌های G13 ، G8 و G7 ، پارامتر D6 ژنتیپ‌های ASV ژنتیپ‌های G13 ، G6 و G8 و پارامتر G13 به ترتیب رتبه اول تا سوم پایداری را به دست آوردند. از ارزیابی رتبه ژنتیپ‌ها چنین

جدول ۴- آماره‌های پایداری مدل امی برای ژنتیپ‌های گلرنگ

میانگین رتبه آماره‌ها	ASV	D6	D1	AMGE	EV6	EV1	SIPC6	SIPC1	ژنتیپ‌ها
۱۳/۶۳	۱۹/۵۲	۴۴۴۳۱	۴۲۵۱۳	-۰/۴۲۵	۶۴	۲۷۸	۴۱۲	۸۴۲	G1
۷/۵۰	۹/۶۹	۲۲۲۲۵	۱۲۲۹۴	-۰/۱۳۳	۴۰	۲۷	-۵۰۴	-۲۶۳	G2
۱۱/۲۵	۱۱/۷۲	۳۴۶۵۱	۲۱۷۹۲	-۰/۱۱۸	۴۶	۷۳	-۸۱۴	-۴۳۲	G3
۹/۰۰	۱۳/۴۳	۳۲۲۴۲	۱۴۷۹۴	-۰/۱۴۸	۷۲	۳۴	۱۰۴	۲۹۳	G4
۱۵/۰۰	۲۴/۹۰	۵۶۸۴۷	۳۸۵۲۵	-۰/۳۸۵	۱۱۳	۲۲۸	-۱۶۸۹	-۷۶۳	G5
۴/۰۰	۵/۳۸	۱۲۵۹۱	۳۶۲۱	-۰/۰۳۶	۴۴	۲	-۴۲۴	-۷۲	G6
۵/۶۳	۸/۴۳	۱۹۶۹۳	۱۱۳۹۸	-۰/۱۱۴	۳۴	۲۰	۴۲۵	۲۲۶	G7
۲/۱۳	۶/۱۶	۱۵۸۵۱	۲۱۷۷	-۰/۰۲۲	۳۳	۰/۷	-۳۰۸	۴۳	G8
۹/۶۳	۱۵/۱۱	۳۴۴۱۰	۱۹۹۳۵	-۰/۱۹۹	۳۹	۶۱	۳۷۵	-۳۹۵	G9
۸/۱۳	۳/۱۱	۴۹۷۴۱	۶۷۳۴	-۰/۰۶۷	۱۰۸	۷	۱۴۳۷	۱۳۳	G10
۱۰/۰۰	۱۳/۹۵	۳۲۰۶۴	۱۶۵۰۸	-۰/۱۶۵	۵۵	۴۲	۹۴۰	۳۲۷	G11
۱۱/۰۰	۱۳/۲۵	۳۱۶۴۳	۲۷۶۲	-۰/۰۷۱	۶۴	۱۱۳	۵۸۷	-۵۳۶	G12
۱/۵۰	۱/۶۵	۵۰۷۳	۳۰۶۵	-۰/۰۳۱	۲۸	۱	۸۰	۶۱	G13
۶/۳۸	۹/۷۲	۲۵۲۴۵	۱۱۳۱۸	-۰/۱۱۳	۳۹	۱۹	۸۲۴	۲۲۴	G14
۱۴/۲۵	۲۰/۲۵	۴۷۰۶۵	۴۲۸۳۱	-۰/۰۴۲۸	۷۳	۲۸۲	-۱۹۲	۸۴۸	G15
۷/۲۵	۸/۵۶	۲۵۸۸۰	۱۳۵۳۱	-۰/۱۳۵	۴۵	۲۸	۳۹۱	۲۶۸	G16
۱۵/۲۵	۲۰/۰۱	۴۷۷۱۱	۴۰۶۳۸	-۰/۰۴۰۶	۹۵	۲۵۴	-۱۶۴۱	-۸۰۵	G17

که از نظر معنی‌داری ژنتیپ‌ها، نتایج مشابه با واریانس پایداری<sup>۲</sup> حاصل شد (جدول ۵). تفکیک اثر متقابل ژنتیپ × محیط به اجزای آن و محاسبه واریانس پایداری و برآورد نالریب واریانس پایداری در گیاهان (Magari & Kang, 1993) و Jamshid moghaddam & Pourdad, (2013) گزارش شده است. آماره  $S^2$  در رتبه‌بندی ژنتیپ‌ها معادل میانگین مرباعات انحراف از رگرسیون (Eberhart & Russell 1966) در نظر گرفته می‌شود (YS). آماره عملکرد - پایداری (Pham & Kang, 1988) ترکیبی از معیار پایداری شوکلا (Shukla, 1972) و میانگین رتبه عملکرد دانه هر ژنتیپ در محیط‌های مختلف می‌باشد (Kang, 1993). در این روش ژنتیپ‌هایی که بالاتر از میانگین شاخص YS برای کلیه ژنتیپ‌ها ( $\bar{Y}_S = ۷/۲$ ) دارند، انتخاب می‌شوند. بر همین اساس ژنتیپ‌های G2 ، G4 ، G15 ، G7 ، G13 ، G14 و G17 به عنوان ژنتیپ‌های مناسب شناخته شدند. ژنتیپ‌های G10 و G3 با کمترین مقادیر شاخص

مقایسه میانگین عملکرد دانه ژنتیپ‌های تحت بررسی نشان داد که بیشترین عملکرد با اختلاف آماری معنی‌دار مربوط به ژنتیپ G15 (۷۷۲ کیلوگرم در هکتار) و کمترین عملکرد نیز در ژنتیپ G3 (۶۲۹ کیلوگرم در هکتار) مشاهده شد (جدول ۵). بر اساس نتایج واریانس پایداری ( $S^2$ ) (Shukla 1972)، اکثر ژنتیپ‌ها با داشتن کمترین مقدار واریانس و غیرمعنی‌دار بودن جزو ژنتیپ‌های پایدار محسوب شدند که ژنتیپ‌های G13، G14، G7، G12، G1، G2 و G4 دارای میانگین عملکرد بالاتر از میانگین کل بودند. با توجه به معنی‌دار بودن ژنتیپ‌های G5 ، G10 ، G17 در سطح احتمال ۱ درصد ، ژنتیپ G15 در سطح احتمال ۵ درصد و ژنتیپ G1 در سطح احتمال ۱۰ درصد این ژنتیپها جزء ژنتیپ‌های ناپایدار قرار گرفتند (جدول ۵). پس از تفکیک اثرات متقابل ژنتیپ × محیط مربوط به شاخص محیطی از اثر متقابل کل بر اساس باقیمانده حاصل از اثر متقابل ژنتیپ × محیط نیز برآورد نالریب واریانس پایداری ژنتیپ‌ها ( $S^2$ ) در تمام محیط‌ها محاسبه شد

پاییزه نیز گزارش شده است (Abdulahi et al., 2009).

به عنوان ضعیف‌ترین ژنوتیپ‌ها معرفی شدند. کاربرد از این آماره در گزینش ارقام مناسب برای ارقام گلرنگ

جدول ۵- آماره‌های مختلف پایداری برای ژنوتیپ‌های گلرنگ

میانگین رتبه آماره‌ها	GGED	$S^2_d$	b	YS	S <sup>2</sup>	$\sigma^2$	میانگین عملکرد دانه	ژنوتیپ‌ها
۹/۹۳	۴	۱۸۳۹۳	۱/۰۳	۹×	۱۹۸۱۴*	۱۹۲۷۱*	۷۱۲۲/ <sup>bc</sup>	G1
۶/۲۱	۷	۱۳۵۵۷	۰/۹۵	۱۶×	۱۴۳۳۳	۱۴۳۳۴	۷۲۴۸/ <sup>b</sup>	G2
۱۱/۷	۱۶	۱۳۲۷۵	۰/۹۰	-۱	۱۹۹۹۴	۱۵۴۶۱	۶۲۹/۱/ <sup>g</sup>	G3
۸/۴۳	۲	۱۳۹۴۶	۱/۰۹	۱۵×	۱۴۷۷۵	۱۵۵۷۳	۷۲۲/۱/ <sup>b</sup>	G4
۱۲/۹۳	۱۰	۲۹۱۲۵**	۰/۹۸	۲	۳۲۱۰۱**	۳۱۱۰۲**	۷۰/۱/ <sup>bcd</sup>	G5
۷/۱۴	۱۳	۷۲۸۲	۰/۹۰	۲	۷۳۳۶	۸۷۹۹	۶۴۷/۸/ <sup>efg</sup>	G6
۵/۴۳	۳	۹۱۳۰	۱/۰۵	۱۳×	۹۳۱۶	۹۳۴۵	۷۱۷/۷/ <sup>b</sup>	G7
۶/۷۱	۵	۷۸۳۵	۱/۰۸	۷	۷۸۹۹	۸۸۸۹	۶۸۹/۲/ <sup>bcd</sup>	G8
۹/۷۱	۱۷	۱۱۱۸۳	۰/۸۸*	.	۱۱۶۴۳	۱۳۶۷۱	۶۳۶/۱/ <sup>fg</sup>	G9
۱۴/۵۷	۱۲	۲۵۸۵۶**	۱/۰۲	-۷	۲۸۲۷۲**	۲۷۴۰۷**	۶۴۵/۱/ <sup>efg</sup>	G10
۱۰/۶۰	۱۴	۱۳۹۸۳	۱/۰۱	۶	۱۴۸۱۶	۱۴۳۲۲	۶۸۰/۲/ <sup>cde</sup>	G11
۱/۷۱	۱۵	۱۳۷۹۹	۰/۹۱	۴	۱۴۶۰۷	۱۵۴۱۲	۶۶۶/۳/ <sup>def</sup>	G12
۴/۵۰	۶	۵۶۸۴	۱/۰۶	۱۴×	۵۴۱۱	۵۲۲۴	۷۱۸/۸/ <sup>b</sup>	G13
۶/۴۳	۸	۹۹۳۴	۱/۰۱	۱۲×	۱۰۲۲۸	۹۸۸۳	۷۱۷/۳/ <sup>b</sup>	G14
۸/۴۳	۱	۲۰۳۴۲*	۱/۰۶	۱۶×	۲۲۰۲۳*	۲۱۸۱۶*	۷۷۱/۳/ <sup>a</sup>	G15
۸/۲۹	۹	۱۲۴۸۵	۰/۹۸	۵	۱۲۱۱۸	۱۲۷۲۱	۶۷۷/۹/ <sup>cde</sup>	G16
۱۱/۷۹	۱۱	۲۱۴۷۹*	۱/۱۱	۹*	۲۳۳۱۱**	۲۴۵۷۰**	۷۲۵/۴/ <sup>b</sup>	G17
میانگین								میانگین
† و ** به ترتیب معنی دار در سطوح احتمال ۱۰، ۵ و ۱ درصد								

شدند. بر اساس دو مؤلفه اول حاصل از روش GGE بای‌پلات مربوط به کلیه محیط‌ها در تمام سال‌ها (محیط) بای‌پلات جهت بررسی سازگاری و عملکرد ترسیم شد (شکل ۲). این بای‌پلات بر اساس تعیین فاصله ژنوتیپ‌ها از ژنوتیپ ایده‌آل فرضی (GGED) است. این ژنوتیپ ایده‌آل بایستی دارای بیشترین میانگین عملکرد در محیط‌های مورد مطالعه و پایدار نسبت به شرایط محیطی باشد. چنین ژنوتیپی به عنوان ژنوتیپی که دارای بیشترین طول بر روی بردار میانگین ژنوتیپ‌ها و دارای حداقل نقش در پدیده اثر متقابل ژنوتیپ  $\times$  محیط باشد تعریف شده است. هر ژنوتیپی که نزدیک‌ترین فاصله را به این ژنوتیپ ایده‌آل داشته باشد به عنوان یک ژنوتیپ برتر محسوب می‌گردد (Yan & Kang, 2003). در شکل ۲، ژنوتیپ‌های G15 و G4 کمترین فاصله را از ژنوتیپ ایده‌آل داشته بنابراین برترین ژنوتیپ‌ها بودند و ژنوتیپ G9 با بیشترین فاصله از ژنوتیپ ایده‌آل نامطلوب‌ترین ژنوتیپ محسوب شد. رتبه‌بندی ژنوتیپ‌ها برای بای‌پلات مذبور در جدول ۵ آورده شده است.

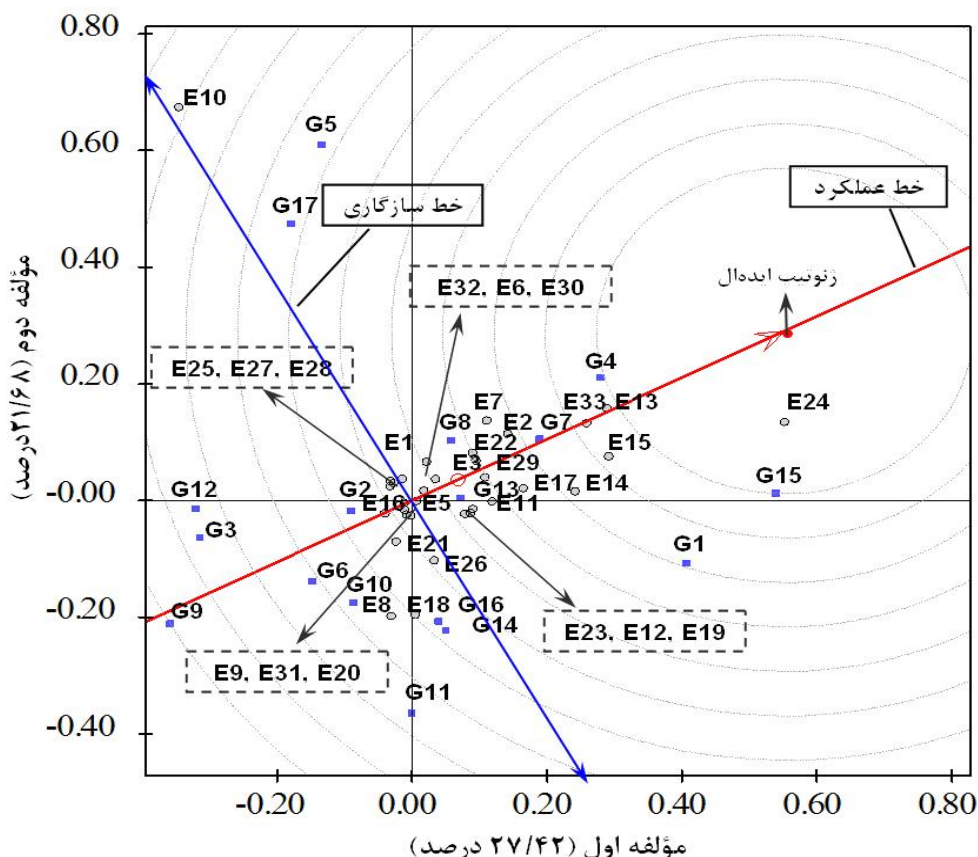
از کاربردهای مهم روش GGE بای‌پلات نمودار چندضلعی است که می‌توان با استفاده از این نمودار،

نتایج تجزیه پایداری به روش Eberhart & Russell (1966) نشان داد که ژنوتیپ‌های G1، G4، G2، G13 و G14 با میانگین عملکرد بالاتر از میانگین کل ژنوتیپ‌ها و همچنین دارا بودن ضریب رگرسیون (b) معادل یک و انحراف غیر معنی‌دار از خط رگرسیون ( $S^2_d$ )، پرمحصول‌ترین و در عین حال پایدارترین ژنوتیپ‌های مورد آزمایش بودند. ژنوتیپ‌های G5 و G10 در سطح احتمال ۱ درصد و ژنوتیپ‌های G17 و G15 در سطح احتمال ۵ درصد انحرافات از رگرسیون آن‌ها معنی‌دار شد. ضریب رگرسیون رقم (G9 = ۰/۸۸) در مقایسه با پایداری متوسط (b = ۱) اختلاف معنی‌دار نشان داد و بنابراین بیشتر برای مناطق ضعیف و کم بازده مناسب می‌باشد ولی به بهبود شرایط کشت پاسخ چندان مناسبی نداشت.

امیدی و همکاران (Omidi et al., 2010) با بررسی پایداری عملکرد دانه و روغن در لاین‌های بهاره گلرنگ در چهار منطقه و دو سال به این نتیجه رسیدند که در اکثر مناطق و سال‌های مورد بررسی تفاوت معنی‌داری بین لاین‌ها وجود دارد و با استفاده از روش رگرسیونی لاین‌های IL111 و اصفهان ۱۴ با سازگاری عمومی بالا در تمام محیط‌ها به عنوان ژنوتیپ‌های مطلوب شناسایی

محیطی اول شامل مکان‌های گچساران و کرمانشاه با ژنوتیپ برتر G15، گروه دوم شامل مکان‌های ایلام، مراغه و شیروان با ژنوتیپ برتر G1، گروه سوم مکان اردبیل با ژنوتیپ برتر G9، گروه چهارم مکان زنجان با ژنوتیپ برتر G5 و گروه اخر شامل مکان‌های کردستان و خرمآباد که ژنوتیپ G7 بالاترین محصول را داشت که می‌توان این ژنوتیپ را به عنوان ژنوتیپ برتر این دو مکان معرفی کرد. ژنوتیپ‌های G10 و G3 اگر چه به عنوان ژنوتیپ‌های واقع در راس و برتر مطرح بودند ولی در هیچ یک از مکان‌ها عملکرد خوبی نداشتند.

محیط‌های بزرگ را برای محصولات مختلف زراعی تعیین نمود. در این نمودار ژنتیپ‌هایی که حداکثر فاصله را از مبدأ دارند به یکدیگر وصل شده و یک چندضلعی حاصل می‌شود، سپس از مبدأً مختصات خطوطی به اضلاع این چندضلعی رسم شده و محیط‌های بزرگ مشخص می‌شوند (Yan, 2001). در این مطالعه نیز نمودار چندضلعی برای ۹ مکان رسم شد (شکل ۳). بر اساس این شکل دو مؤلفه اصلی اول و دوم در مجموع ۷۳/۶۵ درصد از تغییرات موجود را توجیه نمود. برای مکان‌های مورد آزمایش طی چهار سال، ۵ گروه محیطی بزرگ و مجزا مشخص گردید: گروه



شکا، ۲- بای بلات ژنوتیپ ایده‌ا، برای مقاسه ژنوتیپ‌های گلرنگ بر اساس عملکرد و سازگاری

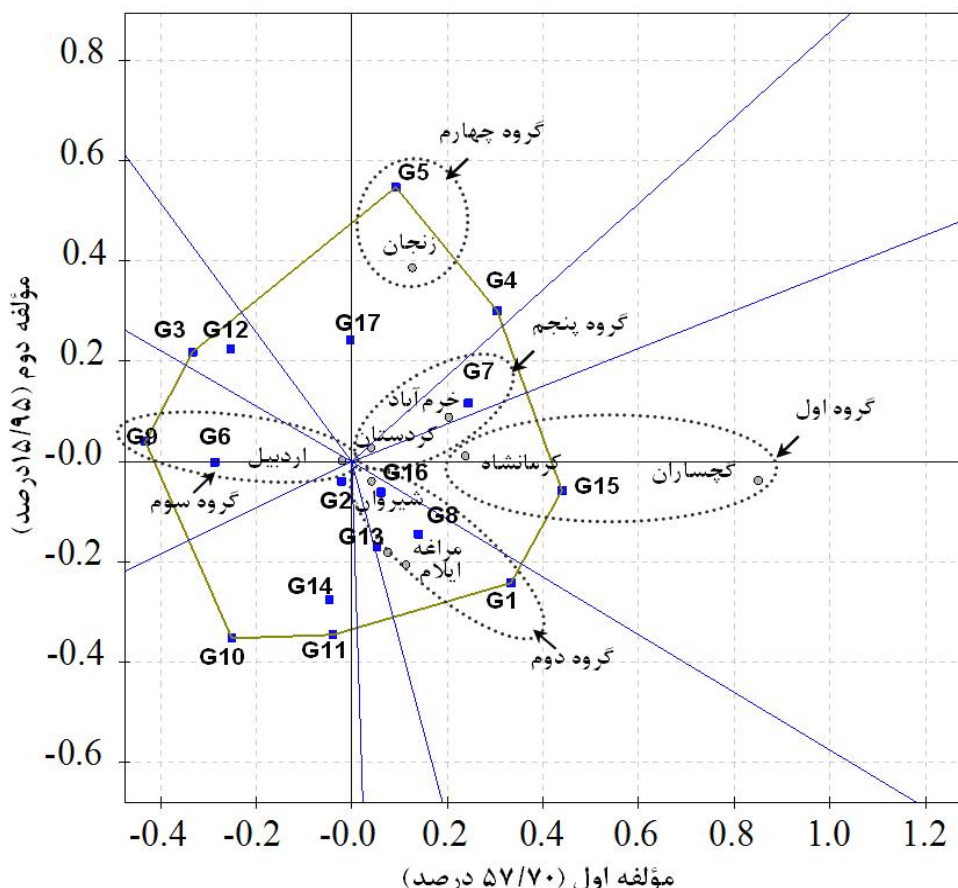
بزرگ و ژنوتیپ‌های برتر در هر گروه را مشخص نمودند. در این تحقیق بر اساس نتایج حاصل از کلیه آمارهای Zobel, 1994; Gauch and Zobel, 1996; Sneller (et al., 1997; Purchase, 1997; Annicchiarico, 1997 واریانس پایداری (Shukla, 1972) و روش رگرسیونی PI- (G13، Eberhart & Russell, 1966؛ ژنوتیپ‌های (

پیشرفتی گلرنگ برای مناطق سردسیر کشور ۳ گروه محیطی، محذا، اشتناسای، نمودند.

در بررسی ارقام گلرنگ در شش ایستگاه تحقیقاتی تحت دو شرایط تنش و بدون تنش رطبوبتی ، ۴ گروه محیطی Pourdad & Jamshid moghaddam (2012) نیز

G4 و G15 (Sina) (Yan & Kang, 2003) ژنوتیپ‌های (Syrian) به عنوان ژنوتیپ‌های برتر معرفی گردیدند. این دو ژنوتیپ توسط پارامتر SIPC6 نیز در رتبه‌های دوم و سوم قرار گرفتند. در مجموع ژنوتیپ G13 بر اساس کلیه آماره‌های پایداری بعنوان ژنوتیپ پایدار و پرمحصول شناسایی شد.

(Kino-76) G8 و (Lesaf) G6 (250536) برتر بودند که از بین آنها تنها لاین G13 عملکرد بالاتر از میانگین کل (۶۹۳ کیلوگرم در هکتار) داشت و توجیه لازم برای انتخاب شدن را دارا بود. برای آماره عملکرد - پایداری (Kang, 1993) و بایپلات ژنوتیپ + اثر مقابل ژنوتیپ × محیط با توجه به مقوله سازگاری و عملکرد



شکل ۳- بایپلات نمودار چندضلعی برای گروه‌بندی مکان‌ها و ژنوتیپ‌های گلنگ

مکان‌های کردستان و خرم‌آباد ، ژنوتیپ‌های G9 (Dincer) و G5 (Hartman) به ترتیب برای دو مکان زنجان و اردبیل و برای سایر مناطق مورد مطالعه شامل ایلام ، مراغه و شیروان ژنوتیپ G1 (Cyprobregon) برتر بود.

همچنین در این تحقیق نمودار چندضلعی GGE بایپلات ابزار مناسبی برای گروه‌بندی محیط‌های متنوع و تعیین ژنوتیپ‌های پایدار و سازگار گلنگ بهاره به شرایط محیطی مختلف بود به طوری که بر اساس نمودار چندضلعی مکان‌ها، ژنوتیپ G15 برای مکان‌های گچساران و کرمانشاه ، ژنوتیپ G7 (CW-4440) برای

## REFERENCES

1. Abdulahi, A., Pourdad, S. S., & Mohammadi, R. (2009). Stability analysis of seed yield in safflower genotypes in Iran. *Acta agronomica hungarica*, 57, 185–195.
2. Akbarpour, O. A., Dehghani, H., & Sorkhi laleh lou, B. (2011). Investigating univariate and multivariate stability parameters of barley (*Hordeum vulgare L.*) promising genotypes in cold climate of Iran. *Iranian Journal of Field Crop Science*, 42, 23–32, (In Farsi).

3. Alizadeh, K., Eskandari, M., Shariati, A., & Eskandari, M. (2008). Study on spring type safflower lines suitable for cold drylands using GGE biplots. *World Journal of Agricultural Sciences*, 4, 726–730.
4. Annicchiarico, P. (1997). Joint regression vs AMMI analysis of genotype – environment interactions for cereals in Italy. *Euphytica*, 94, 53–62.
5. Ashri, A. (1973). *Divergence and evolution in the safflower genus, Carthamus L.* final research report, P.L. 480, U.S.D.A., Project no. AID-CR-18, grant no. FG-Is-234, pp. 180.
6. Cornelius, P. L., Seyedsader, M. S., & Crossa, J. (1992). Using the shifted multiplicative model to search for “separability” in crop cultivar trials. *Theoretical & Applied Genetics*, 84, 161–172.
7. Crossa, J., Gauch, H. G. & Zobel, R. W. (1990). Additive main effects and multiplicative interaction analysis of two international maize cultivar trials. *Crop Science*, 30, 493–500.
8. Dehghani, H., Sabaghpoor, S. H., & Ebadi, A. (2010). Study of genotype × environment interaction for chickpea yield in Iran. *Agronomy Journal*, 102, 1–8.
9. Ebdon, J. S., & Gauch, H. G. (2002). Additive main effect and multiplicative interaction analysis of national Turfgrass performance trials: I. Interpretation of genotype × environment interaction. *Crop Science*, 42, 489–496.
10. Eberhart, S. A., & Russell, W. A. (1966). Stability parameters for comparing varieties. *Crop Science*, 6, 36–40.
11. Esenel, E., Arsalan, B., & Pasa, C. (2008). Genotype × environment interaction and stability analysis of seed yield and oil content of safflower (*Carthamus tinctorius* L.) cultivars. *Proceeding of 7<sup>th</sup> International Safflower Conference*, November 3-7. Wagga Wagga, Australia.
12. Gabriel, K. R. (1971). The biplot graphic display of matrices with application to principal component analysis. *Biometrika*, 58, 453–467.
13. Gauch, H. G. (1992). *Statistical analysis of regional yield trials: AMMI analysis of factorial designs*. Amsterdam, Elsevier.
14. Gauch, H. G., & Zobel, R. W. (1996). AMMI analysis of yield trials. In M. S. Kang & H. G. Gauch, Jr. (Eds.), *Genotype by environment interaction*. (pp. 85–122). CRC Press, Boca Raton, FL.
15. Hatamzadeh, H. (2007). Study of seed yield stability in safflower lines and cultivars in entezari planting under rainfed condition of Kermanshah. *Seed & Plant Improvement Journal*, 23, 145–159, (In Farsi).
16. Hayward, A. D., Bosemark, N. O., & Romagosa, I. (1993). *Plant Breeding*. Chapman and Hall, U. K.
17. Jamshidmoghaddam, M., & Pourdad, S. S. (2013). Genotype × environment interactions for seed yield in rainfed winter safflower (*Carthamus tinctorius* L.) multi-environment trials in Iran. *Euphytica*, 190, 357–369.
18. Kang, M. S. (1993). Simultaneous selection for yield and stability in crop performance trials: consequences for growers. *Agronomy Journal*, 85, 754–757.
19. Karimizadeh R., Dehghan, H., & Dehghanpour, Z. (2008). Use of AMMI method for estimating genotype- environment interaction in early maturing corn hybrids. *Seed & Plant Improvement Journal*, 23, 537–546, (In Farsi).
20. Magari, R., & Kang, M. S. (1993). Genotype selection via a new yield-stability statistic in maize yield trials. *Euphytica*, 70, 105–111.
21. Mündel, H. H., Entz, T., Braun, J. P., & Kiehn, F. A. (1995). Selection of locations for safflower cultivar trials on the Canadian prairies by using the AMMI procedure. *Canadian Journal of Plant Science*, 75, 767–774.
22. Omidi, A. H., Shahsavari, M. R., Motalebipour, S., & Mohammadi, A. A. (2010). Estimation of adaptability and stability of new spring safflower lines for seed and oil yields in different environmental conditions. *Seed & Plant Improvement Journal*, 26, 351–366, (In Farsi).
23. Pham, H. N., & Kang, M. S. (1988). Interrelationships among and repeatability of several stability statistics estimated from international maize trials. *Crop Science*, 28, 925–928.
24. Pourdad, S. S., & Jamshid moghaddam, M. (2012). Evaluation of yield stability of spring safflower (*Carthamus tinctorius* L.) genotypes using GGE biplot. *12<sup>th</sup> Iranian Crop Sciences Congress*, September 4-6. Karaj, Iran, (In Farsi).
25. Purchase, J. (1997). *Parametric analysis to describe genotype × environment interaction and yield stability in winter wheat*. Ph.D University of the Free State, South Africa.
26. Shukla, G. K. (1972). Some statistical aspects of partitioning genotype-environmental components of variability. *Heredity*, 29, 237–245.
27. Sneller, C. H., Kilgore-Norquest, L. & Dombek, D. (1997). Repeatability of yield stability in soybean. *Crop Science*, 37, 383–390.
28. Wricke, G. (1962). Über eine Methode Zur Erfassung der ökologischen Streubreite in Feldversuchen. *Zeitschrift für Pflanzenzüchtung*, 47, 92–96.

29. Yan, W. & Kang, M. S. (2003). *GGE Biplot Analysis: A graphical tool for breeders, geneticists, and agronomists*. CRC Press. Boca Raton, FL.
30. Yan, W. (2001). GGEBiplot-A windows application for graphical analysis of multi-environment trial data and other types of two-way data. *Agronomy Journal*, 93, 1111–1118.
31. Zeinali, E. (1999). *Safflower (characteristics, production and utilization)*. Gorgan university of agricultural sciences and natural resources. pp.144.
32. Zobel, R. W. (1994). Stress resistance and root systems. *Proceeding of the Workshop on Adaptation of Plant to Soil Stress*. INTSORMIL Publ. 94–2. Institute of Agriculture and Natural Resources University of Nebraska, Lincoln, pp. 80–99.